

А. Ю. Кузнецов, Н. Л. Нам<sup>a</sup>, С. В. Чапышев

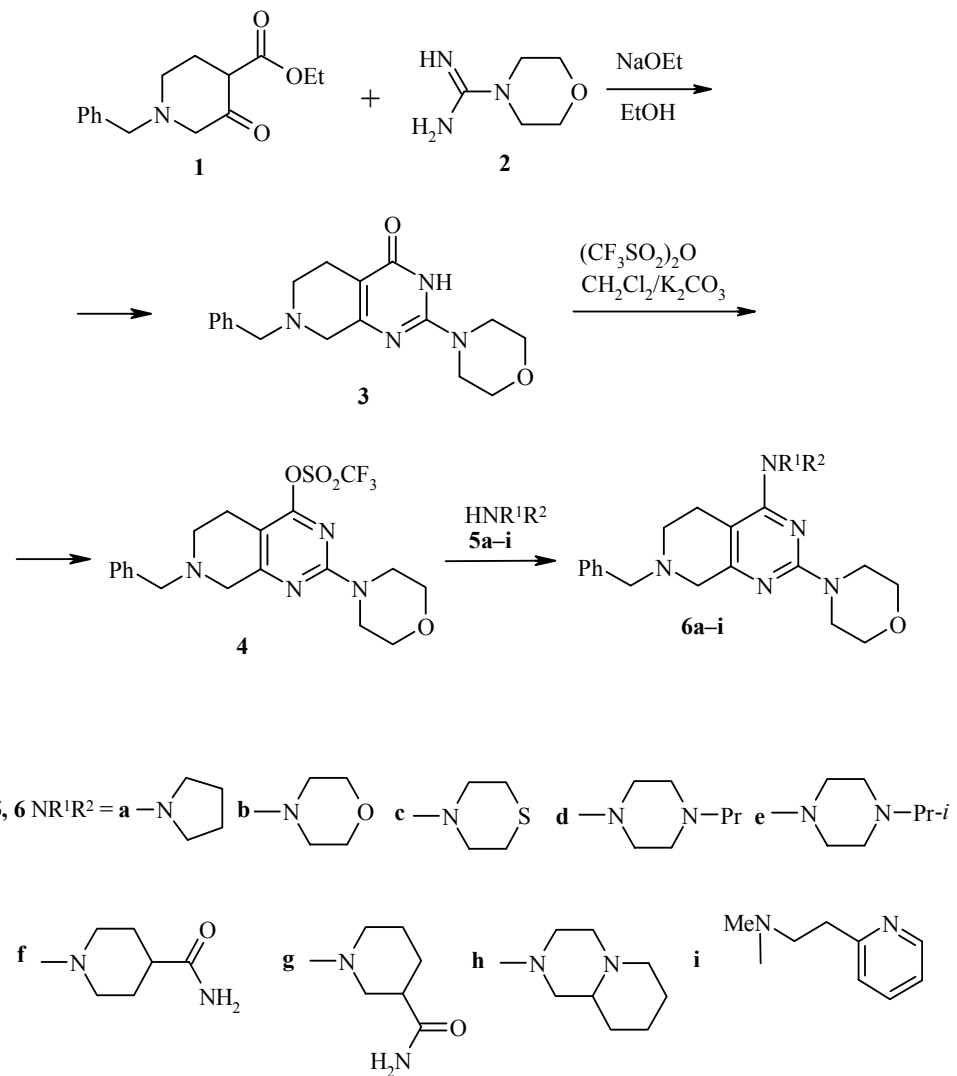
**СИНТЕЗ ПИРИДО[3,4-*d*]ПИРИМИДИНОВ НА ОСНОВЕ КОНДЕНСАЦИИ  
1-БЕНЗИЛ-3-ОКСОПИПЕРИДИН-4-ЭТОКСИКАРБОКСИЛАТА  
С МОРФОЛИН-4-КАРБОКСАМИДИНОМ**

Разработан метод синтеза 4-аминозамещенных производных 7-бензил-2-морфолин-4-ил-5,6,7,8-тетрагидропиридо[3,4-*d*]пиrimидина на основе конденсации 1-бензил-3-оксо-пиперидин-4-этоксикарбоксилата с морфолин-4-карбоксамидином и последующих реакций 7-бензил-2-морфолин-4-ил-5,6,7,8-тетрагидро-3Н-пиридо[3,4-*d*]пиrimидин-4-она с трифторметансульфоновым ангидридом и вторичными аминами.

**Ключевые слова:** 1-бензил-3-оксопиперидин-4-этоксикарбоксилат, морфолин-4-карбоксамидин, пиридо[3,4-*d*]пиrimидины, конденсация.

Пиридо[3,4-*d*]пиrimидины проявляют высокую биологическую активность, в частности, селективно ингибируют тирозинкиназу, полностью подавляя рост многих видов злокачественных опухолей [1–3]. Отдельные представители данного класса соединений являются антагонистами  $\alpha_1$ -адренорецепторов и используются в медицине при лечении нервных расстройств [4], а также эффективно ингибируют деятельность дегидрофолатредуктазы, вызывая гибель многих патогенных микроорганизмов [5]. Направление и эффективность биологического действия пиридо-[3,4-*d*]пиrimидинов во многом зависят от заместителей в их пиридо-пиrimидиновом ядре. Наиболее распространенными методами синтеза пиридо[3,4-*d*]пиrimидинов являются реакции циклизации производных 3-ациламиноизоникотиновой кислоты под действием уксусного ангидрида и затем аммиака [6–8], а также реакции конденсации 3-аминоизоникотиновой кислоты либо ее эфиров, амидов и нитрилов с муравьиной кислотой, формамидом, цианамидами, амидинами и *ортo*-эфирами [3, 7–9]. Значительно реже производные пиридо[3,4-*d*]пиrimидинов получают на основе конденсации эфиров 1-бензил-3-оксопиперидин-4-карбоновой кислоты с амидинами [4, 10], синтетический потенциал которой остается во многом не раскрытым.

С целью разработки новых методов синтеза производных пиридо-[3,4-*d*]пиrimидинов в настоящей работе изучены конденсация этилового эфира 1-бензил-3-оксопиперидин-4-карбоновой кислоты (**1**) с морфолин-4-карбоксамидином (**2**) и последующие реакции получаемого 7-бензил-2-морфолин-4-ил-5,6,7,8-тетрагидро-3Н-пиридо[3,4-*d*]пиrimидин-4-она (**3**) с трифторметансульфоновым ангидридом и вторичными аминами.



Конденсацию кетоэфира **1** с эквимолярным количеством карбоксамидина **2** проводили кипячением в этаноле, используя 3 экв. этилата натрия в качестве катализатора. Контроль за реакцией методом ТСХ показал, что реакция полностью завершается за 3 ч, приводя к образованию нового соединения. Согласно данным элементного анализа, ИК, ЯМР  $^1\text{H}$  и масс-спектров (табл. 1–3), продуктом реакции является соединение **3**, выход которого составил 87%.

4-Аминозамещенные производные пиридо[3,4-*d*]пиrimидинов обычно синтезируют в две стадии, сначала хлорируя 3Н-пиридо[3,4-*d*]пиrimидин-4-оны с помощью  $\text{SOCl}_2$  либо  $\text{POCl}_3$  и затем замещая атомы хлора в промежуточно получаемых 4-хлорпиридо[3,4-*d*]пиrimидинах на амино-группы [3]. Другим возможным методом синтеза 4-аминопиридо[3,4-*d*]пиrimидинов могут быть реакции 3Н-пиридо[3,4-*d*]пиrimидин-4-онов с трифторметансульфоновым ангидридом и затем с аминами [11]. Реакцию

### Таблица 1

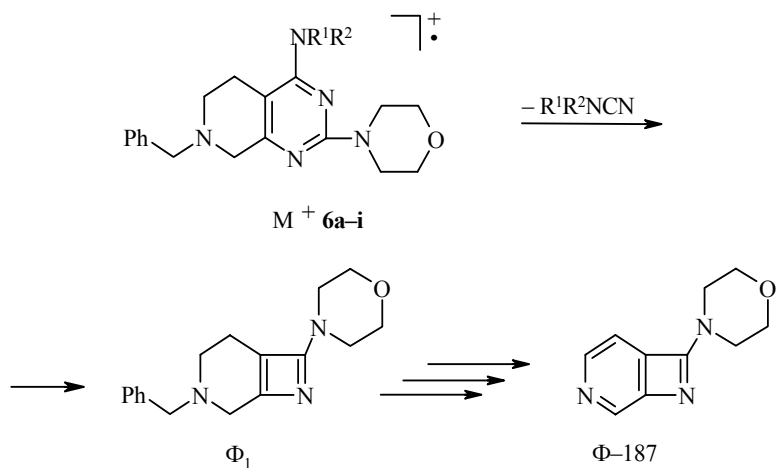
**Характеристики соединений 3 и 6a–i**

Соединение	Брутто-формула	Найдено, %			Т. пл., °C	Выход, %
		C	H	N		
<b>3</b>	C <sub>18</sub> H <sub>22</sub> N <sub>4</sub> O <sub>2</sub>	66.46 66.24	6.96 6.80	16.96 17.17	247–248	87
<b>6a</b>	C <sub>22</sub> H <sub>29</sub> N <sub>5</sub> O	69.87 69.63	7.96 7.70	18.28 18.45	125–126	76
<b>6b</b>	C <sub>22</sub> H <sub>29</sub> N <sub>5</sub> O <sub>2</sub>	66.93 66.81	7.57 7.39	17.54 17.71	147–148	72
<b>6c</b>	C <sub>22</sub> H <sub>29</sub> N <sub>5</sub> OS	64.41 64.20	7.29 7.10	16.82 17.02	137–138	70
<b>6d</b>	C <sub>25</sub> H <sub>36</sub> N <sub>6</sub> O	69.02 68.78	8.48 8.31	18.98 19.25	107–108	69
<b>6e</b>	C <sub>25</sub> H <sub>36</sub> N <sub>6</sub> O	68.94 68.78	8.54 8.31	19.02 19.25	128–129	71
<b>6f</b>	C <sub>24</sub> H <sub>32</sub> N <sub>6</sub> O <sub>2</sub>	66.26 66.03	7.51 7.39	19.06 19.25	190–191	74
<b>6g</b>	C <sub>24</sub> H <sub>32</sub> N <sub>6</sub> O <sub>2</sub>	66.28 66.03	7.57 7.39	18.96 19.25	177–178	73
<b>6h</b>	C <sub>26</sub> H <sub>36</sub> N <sub>6</sub> O	69.82 69.61	8.31 8.09	18.46 18.73	101–102	70
<b>6i</b>	C <sub>26</sub> H <sub>32</sub> N <sub>6</sub> O	70.52 70.24	7.43 7.25	18.78 18.90	103–104	67

соединения **3** с трифторметансульфоновым ангидридом проводили в хлористом метилене при –40 °C, получая трифлатное производное **4** с выходом 90%. Данное соединение взаимодействовало с аминами **5a–i** при кипячении в диоксане, образуя соединения **6a–i** с выходом 67–76%.

Состав и строение соединений **6a–i** подтверждены данными элементного анализа, ИК, ЯМР <sup>1</sup>Н спектроскопии и масс-спектрометрии (табл. 1–3). Интересную информацию о свойствах соединений **6a–i** представляют данные масс-спектрометрии.

Наличие в масс-спектрах интенсивных пиков молекулярных ионов ( $I_{\text{отн}} 100\%$ ) на фоне небольшого числа слабых по интенсивности (<20%) пиков фрагментарных ионов указывает на значительную стабильность соединений **6a–i** к действию электронного удара (табл. 2). При этом одним из наиболее интенсивных пиков в масс-спектрах всех соединений **6a–i** является пик иона с массой 187, что свидетельствует о единой для данных соединений схемы распада, продуктом которой является ион, не содержащий фрагмент NR<sup>1</sup>R<sup>2</sup>. Анализ масс-спектров показывает (табл. 2), что первая стадия процесса фрагментации соединений **6a–i** включает элиминирование их молекулярными ионами фрагментов R<sup>1</sup>R<sup>2</sup>N–CN с образованием ионов Ф<sub>1</sub>, которые далее претерпевают элиминирование бензильного заместителя и дегидрирование, образуя относительно стабильные ионы Ф–187.



Элиминирование молекулярными ионами соединений **6a–i** фрагментов  $\text{R}^1\text{R}^2\text{N}-\text{CN}$  подтверждается данными полуэмпирических расчетов методом PM3 молекул данных соединений, а также их катион-радикалов. Так, например, расчеты показывают, что нейтральная молекула соединения **6a** имеет существенно удлиненную связь  $\text{C}_{(4)}-\text{C}_{(4a)}$  и аномально большой валентный угол  $\text{N}-\text{C}_{(4)}-\text{C}_{(4a)}$  вследствие отталкивания пирролидинового заместителя от атомов водорода пиперидинового цикла.

Таблица 2  
ИК и масс-спектры соединений **3** и **6a–i**

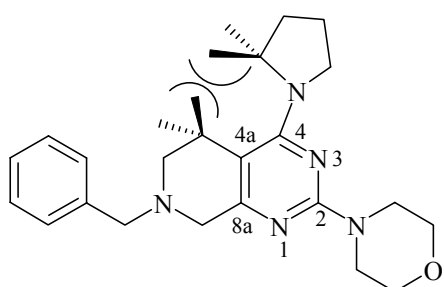
Соединение	ИК спектр (KBr), $\nu$ , $\text{cm}^{-1}$	Масс-спектр, $m/z$ ( $I_{\text{отн.}} \%$ )
<b>3</b>	3380 (NH), 1725 (C=O), 1610, 1585, 1574, 1545 (C=N, C=C)	326 [ $\text{M}]^+$ (100), 236 (18), 187 (40), 163 (30)
<b>6a</b>	1590, 1575, 1535 (C=N, C=C)	379 [ $\text{M}]^+$ (100), 282 (5), 236 (7), 213 (5), 187 (7)
<b>6b</b>	1590, 1575, 1535 (C=N, C=C)	395 [ $\text{M}]^+$ (100), 277 (14), 187 (5)
<b>6c</b>	1588, 1573, 1540 (C=N, C=C)	411 [ $\text{M}]^+$ (100), 187 (10)
<b>6d</b>	1585, 1570, 1535 (C=N, C=C)	436 [ $\text{M}]^+$ (100), 187 (12), 163 (5)
<b>6e</b>	1585, 1572, 1535 (C=N, C=C)	436 [ $\text{M}]^+$ (100), 187 (15), 163 (17)
<b>6f</b>	3350, 3180 (NH), 1725 (C=O), 1645, 1620 (NH), 1585, 1570, 1530 (C=N, C=C)	436 [ $\text{M}]^+$ (100), 187 (5)
<b>6g</b>	3345, 3175 (NH), 1730 (C=O), 1640, 1615 (NH), 1585, 1570, 1530 (C=N, C=C)	436 [ $\text{M}]^+$ (100), 187 (17), 163 (8)
<b>6h</b>	1585, 1570, 1535 (C=N, C=C)	448 [ $\text{M}]^+$ (100), 256 (7), 187 (7), 163 (8)
<b>6i</b>	1590, 1585, 1570, 1540, 1530 (C=N, C=C)	444 [ $\text{M}]^+$ (100), 187 (8), 176 (12), 106 (8)

Таблица 3

Спектры ЯМР  $^1\text{H}$  соединений 3 и 6а–и

Соединение	Спектр ЯМР $^1\text{H}$ , ДМСО-d <sub>6</sub> , $\delta$ , м. д. ( $J$ , Гц)					
	5-CH <sub>2</sub> , уш. с	6-CH <sub>2</sub> , уш. с	8-CH <sub>2</sub> , с	CH <sub>2</sub> C <sub>6</sub> H <sub>5</sub>	2-N(CH <sub>2</sub> ) <sub>4</sub> O, м	NR <sup>1</sup> R <sup>2</sup>
<b>3</b>	2.50	2.68	3.7	3.15 (2H, с), 7.2–7.4 (5H, м)	3.5 (4H), 3.6 (4H)	11.1 (1H, уш. с)
<b>6a</b>	2.58	2.68	3.7	3.30 (2H, с), 7.2–7.4 (5H, м)	3.6 (8H)	1.65 (4H, м, CH <sub>2</sub> ), 3.40 (4H, уш. с, NCH <sub>2</sub> )
<b>6b</b>	2.58	2.68	3.7	3.30 (2H, с), 7.2–7.4 (5H, м)	3.6 (8H)	3.20 (4H, м, NCH <sub>2</sub> ), 3.60 (4H, уш. с, OCH <sub>2</sub> )
<b>6c</b>	2.65	2.70	3.7	3.28 (2H, с), 7.2–7.4 (5H, м)	3.6 (8H)	2.60 (4H, уш. с, SCH <sub>2</sub> ), 3.50 (4H, уш. с, NCH <sub>2</sub> )
<b>6d</b>	2.72	2.72	3.7	3.28 (2H, с), 7.2–7.4 (5H, м)	3.6 (8H)	0.9 (3H, т, $J$ = 7.1, CH <sub>3</sub> ), 1.50 (2H, м, CH <sub>2</sub> ), 2.30 (2H, уш. с, NCH <sub>2</sub> ), 2.48 (4H, м, NCH <sub>2</sub> ), 3.40 (4H, уш. с, NCH <sub>2</sub> )
<b>6e</b>	2.63	2.70	3.7	3.30 (2H, с), 7.2–7.4 (5H, м)	3.6 (8H)	0.95 (6H, д, $J$ = 6.4, CH <sub>3</sub> ), 2.40 (4H, уш. с, NCH <sub>2</sub> ), 2.60 (1H, м, NCH), 3.20 (4H, уш. с, NCH <sub>2</sub> )
<b>6f</b>	2.64	2.70	3.7	3.30 (2H, с), 7.2–7.4 (5H, м)	3.6 (8H)	1.54 (2H, м, $\beta$ -CH <sub>2</sub> ), 1.70 (2H, м, $\beta$ -CH <sub>2</sub> ), 2.40 (1H, м, $\gamma$ -CH), 2.70 (4H, т, $J$ = 6.2, NCH <sub>2</sub> ), 3.72 (4H, т, $J$ = 6.3, NCH <sub>2</sub> ), 6.74 и 7.14 (2H, уш. с, CONH <sub>2</sub> )
<b>6g</b>	2.72	2.72	3.7	3.30 (2H, с), 7.2–7.4 (5H, м)	3.6 (8H)	1.50 (2H, м, $\beta$ -CH <sub>2</sub> ), 1.65 (2H, м, $\gamma$ -CH <sub>2</sub> ), 1.70 (2H, м, $\beta$ -CH <sub>2</sub> ), 2.45 (1H, м, H- $\beta$ ), 2.98 (4H, т, $J$ = 6.2, NCH <sub>2</sub> ), 3.72 (4H, т, $J$ = 6.2, NCH <sub>2</sub> ), 5.15 и 5.92 (2H, уш. с, CONH <sub>2</sub> )
<b>6h</b>	2.64	2.70	3.7	3.35 (2H, с), 7.2–7.4 (5H, м)	3.6 (8H)	1.0–2.1 (9H, м, CH, CH <sub>2</sub> ), 2.15 (2H, м, NCH <sub>2</sub> ), 2.70 (2H, м, NCH <sub>2</sub> ), 2.90 и 3.45 (2H, д, $J$ = 6.2, NCH <sub>2</sub> )
<b>6i</b>	2.60	2.68	3.7	3.45 (2H, с), 7.2–7.4 (5H, м)	3.6 (8H)	2.38 (3H, с, NCH <sub>3</sub> ), 2.95 (2H, т, $J$ = 6.5, CH <sub>2</sub> ), 3.58 (2H, м, NCH <sub>2</sub> ), 7.18 (2H, м, Н- $\beta$ пиридина), 7.65 (1H, м, Н- $\gamma$ пиридина), 8.00 (1H, д, $J$ = 4.8, Н- $\alpha$ пиридина)

Еще заметнее эти эффекты проявляются в молекуле катион-радикала КР-6а, в которой связи  $C_{(4)}-C_{(4a)}$  и  $C_{(2)}-N_{(3)}$ , соответственно, удлинены на 0.0220 и 0.0011 Å, а связь  $N_{(1)}-C_{(8a)}$  укорочена на 0.0341 Å по сравнению с аналогичными связями в нейтральной молекуле 6а (табл. 4). Искаженные валентные углы  $N-C_{(4)}-C_{(4a)}$  и сильно удлиненные связи  $C_{(4)}-C_{(4a)}$  в молекулах 6а и КР-6а свидетельствуют о наличии у данных молекул значительной энергии напряжения, понизить которую удается благодаря элиминированию фрагмента  $R^1R^2N-CN$ . Удлинение связей  $C_{(4)}-C_{(4a)}$  и  $C_{(2)}-N_{(3)}$  в ряду молекул 6а и КР-6а описывает лишь начальную стадию процесса, завершением которого становится полная диссоциация данных связей.



6а, КР-6а

Таблица 4

**Рассчитанные методом РМЗ отдельные валентные углы ( $\omega$ ) и длины связей ( $l$ ) в молекулах пиридопиримидина 6а и его катион-радикала КР-6а**

Угол	$\omega$ , град.		Связь	$l$ , Å	
	6а	KP-6а		6а	KP-6а
$C_{(4a)}-C_{(4)}-N$	127.7	127.9	$N_{(1)}-C_{(8a)}$	1.3651	1.3310
$N_{(3)}-C_{(4)}-N$	111.8	111.1	$C_{(2)}-N_{(3)}$	1.3677	1.3688
			$C_{(4)}-C_{(4a)}$	1.4223	1.4443

Синтезированные пиридопиримидины 3 и 6а–i представляют собой белые кристаллические соединения, плохо растворимые в воде и неполярных органических растворителях. Более высокая температура плавления соединений 6f,g обусловлена наличием в их молекулах карбамидных групп, способных образовывать водородные связи.

Исследование показало, что конденсация этилового эфира 1-бензил-3-оксопиперидин-4-карбоновой кислоты с морфолин-4-карбоксамидином и последующие реакции 7-бензил-2-морфолин-4-ил-5,6,7,8-тетрагидро-3Н-пиридо[3,4-*d*]пиrimидин-4-она с трифторметансульфоновым ангидридом и аминами позволяют получать с высоким выходом разнообразные производные 5,6,7,8-тетрагидропиридо[3,4-*d*]пиrimидина.

## ЭКСПЕРИМЕНТАЛЬНАЯ ЧАСТЬ

ИК спектры получали на приборе Specord M-80, спектры ЯМР  $^1\text{H}$  — на приборе Bruker AMX-400 (400 МГц), внутренний стандарт ТМС. Масс-спектры регистрировали на приборе Finnigan MAT-90 при энергии ионизации 70 эВ. Для колоночной хроматографии использовали силикагель марки L 40/100. Контроль за реакциями осуществляли методом ТСХ на пластинах Silufol UV-254.

Геометрию молекул пиридопиримидина **6a** и его катион-радикала КР-**6a** рассчитывали полумпирическим методом PM3, входящим в пакет программ HyperChem [12]. Все расчеты проводили с полной оптимизацией геометрических параметров.

В работе использован кетоэфир **1** компании Acros. Метод получения соединения **2** описан в работе [13].

**7-Бензил-2-морфолин-4-ил-5,6,7,8-тетрагидро[3,4-*d*]пиридин-4-он (3).**

К перемешиваемому раствору NaOEt, полученному из 3.5 г (0.15 моль) Na и 200 мл абсолютного этанола, добавляют небольшими порциями 24.8 г (0.15 моль) гидрохлорида соединения **2**, а затем по каплям 35.5 г (0.148 моль) кетоэфира **1**. Реакционную смесь кипятят 3 ч, после чего 100 мл этанола отгоняют в вакууме. К оставшемуся раствору добавляют гидрохлорид аммония до насыщения, выпавший осадок отфильтровывают, промывают водой и сушат на воздухе, перекристаллизовывают из этилацетата.

**4-Амино-7-бензил-2-морфолин-4-ил-5,6,7,8-тетрагидропиридо[3,4-*d*]пиридины 6a-i** (общая методика). К охлажденной до  $-40^\circ\text{C}$  суспензии 2.36 г (10 ммоль) соединения **3** и 4 г (30 ммоль)  $\text{K}_2\text{CO}_3$  в 150 мл сухого хлористого метилена при перемешивании добавляют по каплям 3.28 г (12 ммоль) трифторметансульфонового ангидрида, после чего температуру реакционной смеси медленно доводят до комнатной. Реакционную смесь перемешивают 2 ч при комнатной температуре, затем выливают в 200 мл воды. Органический слой отделяют, сушат  $\text{Na}_2\text{SO}_4$  и хроматографируют на короткой колонке, заполненной силикагелем. Растворитель отгоняют в вакууме, остаток растворяют в 150 мл сухого диоксана. К раствору добавляют 4 г (30 ммоль)  $\text{K}_2\text{CO}_3$  и 15 ммоль соответствующего амина, кипятят 2 ч, охлаждают и выливают в 300 мл воды, экстрагируют этилацетатом, экстракт сушат  $\text{Na}_2\text{SO}_4$  и хроматографируют на короткой колонке, заполненной силикагелем. Растворитель отгоняют в вакууме, остаток сушат на воздухе и перекристаллизовывают из этилацетата.

## СПИСОК ЛИТЕРАТУРЫ

1. A. J. Bridges, *Chem. Rev.*, **101**, 2541 (2001).
2. H. Daub, K. Specht, A. Ullrich, *Nat. Rev., Drug Discov.*, **3**, 1001 (2004).
3. G. W. Rewcastle, W. A. Denny, H. D. H. Showalter, *Curr. Org. Chem.*, **4**, 679 (2000).
4. T. J. Connolly, M. Matchett, K. Sarma, *Org. Process Res. & Dev.*, **9**, 80 (2005).
5. G. Wollein, R. Troschute, *J. Heterocycl. Chem.*, **39**, 1195 (2002).
6. J. Audoux, N. Ple, A. Turck, G. Queguiner, *Tetrahedron*, **60**, 4107 (2004).
7. W. J. Irwin, D. G. Wibberley, *Adv. Heterocycl. Chem.*, **10**, 149 (1969).
8. *Comprehensive Heterocyclic Chemistry*, A. R. Katritzky (Ed.), Pergamon, Oxford, 1984, vol. 3, p. 199.
9. J. H. Maguire, R. L. McKee, *J. Org. Chem.*, **39**, 3434 (1974).
10. J. Reiter, E. Rivo, *J. Heterocycl. Chem.*, **25**, 1497 (1988).
11. S. Sarkar, *Synlett*, 390 (2004).
12. HyperChem version 6.03, Hypercube Inc., 2000.
13. M. S. Bernatowicz, Y. Wu, G. R. Matsueda, *J. Org. Chem.*, **57**, 2497 (1992).

Институт проблем химической физики РАН,  
Черноголовка 142432, Московской обл.  
e-mail: chap@icp.ac.ru

Поступило 10.03.2006

<sup>a</sup>Российский государственный аграрный  
университет — МСХА им. К. А. Тимирязева,  
Москва 127550  
e-mail: dimlorg@timacad.ru